

1. まえがき

薄肉曲面板によって構成されるパネルの終局強度は、土木構造の分野においても、関心の持たれる問題の一つであるが、以下のところ、平板構造にくらべると、研究例も数少ない。その主な理由として、一般に、シェルの解析が、平板の場合より複雑になり、また、精度上の問題点多いことなどが挙げられよう。従来、シェルの解析的方法の面では、平板問題とは、幾分異なった発展の過程が見られる。すなわち、弹性シェルの微小変形に関する、厳密な基礎式として著名な Flügge の式を中心とし、未知量の消去によって 8 階の基礎式に帰着させる方法、あるいは、それらの近似化などについて、多くの人々が論じてあり、たとえば、Donnell の近似解が、条件によっては、Flügge の解と、かなりの差異を持つことなどが指摘されている。しかし、それらの議論も、場合によつては、省略項の意味が不明確であつたり、また一般に、基礎式の複雑さゆえに、解析解の得られる範囲に制約があり、議論の範囲が限られ、発展性に乏しい感がある。一方、数値計算的方法についても、おしなべて、平板の場合より精度上の問題点多く、有限変形や弾塑性、リブの補剛効果など、複雑、かつ局部性の強い力学的挙動の連成する、この種の問題の解析にあたっては、方法論的にも研究課題があるようと思われる。

さて、筆者はすでに、平板構造における同様な問題について、解析的方法と、数値計算的方法の両者の持つ特性を相補形で利用する、1種の hybrid 性格を持つ解法を提示し、長方形板に関する若干の応用例によつて、その有用性を確かめてきた。この解法の特長は、連続解(解析解)を基底に置いて精度を向上させ、同時に、必要最小限の選択法、差分法を併用して、解の適用範囲を拡張し、上述のような複雑な問題を高精度で、かつ実用的に解析するところにある。そこで、このような解析上の経験をもとに、平板の基礎式(4 階の釣合式、適合条件式)の右辺に、シェルの挙動を表わす若干の項を付加する方法を探り、同時に、それらの項に、従来、となく議論の対象となつた、式の精度による区別を与えた、平板解析の場合と同様の手法を重ねることによって、薄肉シェルの同類の問題を、平板問題と一元化した形で、便利に解くことを考えた。その意図するところは、次のとおりである。

1) 基底に置く解析解(級数解)として平板の解を用いるので、その扱いが容易であり、選択法の導入にも適している。また、計算上有効な、級数収束法が適用できるので、断面力の収束値を得るのに便利である。

2) 釣合式と適合条件式が同形であり、また、各式の右辺の各項が与えられる物理量を、板内の有限領域で平均化することによって、同一の解と手法を key として解法を整備することができる。さらに、それらの物理量の意味が明確であり、解析対象によつては近似解を用いることができる。

3) シェルと平板の解析が、広範囲にわたつて一元化されるので、同一のプログラムをシェルと板の双方に適用できる。すなわち、平板は、解法上、シェルの特別の場合になる。

次に、解法を照査するための基本的な問題として、今回、以下のことを考えた。

1) 部分荷重を受ける弹性シェルの微小変形の問題について、本解法の精度を調べる。前述のように、本解法は、基礎式の右辺に、応力 - ひずみ関係における、Donnell の近似仮定に相当する項(以下、この項のみを考慮して得られる解を近似解と呼ぶ)と、さらに Flügge の仮定に対応させるための補正項(以下、同様に、精密解と呼ぶ)を含むように構成してあるので、特に、部分荷重、辺長比などの条件が、両者の精度上の差異をもたらすことを考慮し、解析対象によつては近似解を代用せらるための、より広い知見を獲得する。

2) 大たわみ、および弾塑性問題における、本解法の精度を調べる。さらに、解法上、基礎式の右辺における、これららの非線形の特性を持つ物理量が、線形化によって、本質的には、局部的な部分荷重と類似の性格を持つこ

とを考慮し、1)の問題と関連した照査をあこなう。

2. 基礎式； 誇導の要旨は次のとおりである。

1) 断面力とひずみ、変形の関係は、弾性線形問題における、Flügge, 溝口らの表示と同様に、有限変形、ならびに弾塑性変形をも考慮して、精度を与える、また、それらは、Donnell の近似仮定によるものを補正する形に表わされる。

2) 6個の釣合条件式のすべてを充足させる。

3) 釣合条件式は中央面で充足させ、応力函数を導入する。

4) 塑性ひずみは、flow rule によって与える。

なお、本文では、円筒シェルの場合について述べるが、本解法は、2 方向に曲面を有するものにも拡張することができる。

図-1によって断面力を表示し、Z 方向のたわみを W として、上記の仮定による次の2つの基礎式が得られる。

$$\Delta \Delta W = \frac{P}{K} + \sum_{p=1}^6 U_p \quad \text{---(1)} \quad \Delta \Delta \phi = \sum_{p=1}^5 V_p \quad \text{---(2)}$$

ここに、 $\Delta \Delta = (\frac{\partial^2}{\partial x^2} + \frac{\partial^2}{\partial s^2})^2$ P ：横荷重強度、 ϕ ：応力函数、 K ：板剛度 $= \frac{Eh^3}{12(1-\nu^2)}$

$$U_1 = -\frac{1}{rK} P_x, \quad U_2 = \frac{1}{rC} D_x P_x - \frac{1}{r^2} (K_s + K'_s + 2K_x), \quad U_3 = \frac{1}{K} (P_s K_x + P'_s K'_s - 2P_{xs} K_{xs}),$$

$$U_4 = \frac{1}{r} [\{K_s + (2-\nu)K_x\}K'_s - (1-\nu)K_{xs}^2], \quad U_5 = -\frac{4}{rh} \sum_L [D_x \{\mu(X_x + \nu X_s) + D_s \{\mu(X_s + \nu X_x)\}]$$

$$+ (1-\nu)D_{xs}(\mu X_{xs})]_L, \quad U_6 = \frac{4}{rh} \sum_L [\mu \{X_s + (2-\nu)X_x\}K'_s - \frac{1}{2}(1-\nu)(\mu X_{xs})K_{xs}]_L$$

$$V_1 = \frac{Eh}{r} K_x, \quad V_2 = -\frac{2K(1-\nu)}{r} (D_x + D_s) K_x, \quad V_3 = Eh (K_{xs}^2 - K_x K'_s),$$

$$V_4 = -Eh \sum_L \{D_s(\mu w_x) + D_s(\mu w_s) - D_{xs}(\mu w'_x)\}_L, \quad V_5 = -\frac{8K(1-\nu)}{rh} \sum_L \{(D_x + D_s)(\mu X_x)\}_L$$

また、 $P_x = \frac{\partial \phi}{\partial x^2}$, $P_s = \frac{\partial \phi}{\partial s^2}$, $P_{xs} = \frac{\partial \phi}{\partial x \partial s}$, $K_x = \frac{\partial^2 w}{\partial x^2}$, $K'_s = \frac{\partial^2 w}{\partial s^2}$, $K_s = \frac{\partial^2 w}{\partial s^2} + \frac{w}{r^2}$

$$K_{xs} = \frac{\partial^2 w}{\partial x \partial s}, \quad X_x = \frac{\partial f}{\partial m_x}, \quad X_s = \frac{\partial f}{\partial m_s}, \quad X_{xs} = \frac{\partial f}{\partial m_{xs}}, \quad w_x = \frac{\partial f}{\partial n_x}, \quad w_s = \frac{\partial f}{\partial n_s}, \quad w' = \frac{\partial f}{\partial n}$$

$$n' = \frac{1}{2}(n_{xs} + n_{sx}), \quad C = \frac{Eh}{1-\nu^2}, \quad f: \text{塑性ボテンシャル}, \quad \mu: \text{塑性ひずみの係数},$$

$$L: \text{荷重段階}, \quad D \text{は部分的に使用される差分記号で}, \quad D_x = \frac{\Delta^2}{\Delta x^2}, \quad D_s = \frac{\Delta^2}{\Delta s^2}, \quad D_{xs} = \frac{\Delta^2}{\Delta x \Delta s}$$

断面力は次のように書かれる

$$\left. \begin{aligned} N_x &= P_s, \quad N_s = P_s + \frac{K}{r} \{K_s + (2-\nu)K_x\} + \frac{4K}{rh} \sum_L \{\mu X_s + (2-\nu)X_x\}_L, \quad N_{sx} = -P_{xs} \\ N_{xs} &= -P_{xs} - \frac{K}{r} (1-\nu)K_{xs} - \frac{2K}{rh} (1-\nu) \sum_L (\mu X_{xs})_L, \quad M_x = K(K_x + \nu K_s - \frac{N_x}{rC}) + \frac{4K}{rh} \sum_L (\mu X_x + \nu X_s)_L \\ M_s &= K(K_s + \nu K_x) + \frac{4K}{rh} \sum_L (\mu X_s + \nu X_x)_L, \quad M_{sx} = M_{xs} = K(1-\nu)K_{xs} + \frac{2K}{rh} (1-\nu) \sum_L (\mu X_{xs})_L \end{aligned} \right\} \quad \text{---(3)}$$

基礎式(1), (2)の右辺 U_p , V_p の各項の性格をもとづき、それらを取り捨て選択して、下表のように、種々の解析対象に適応させることができる

表. 解析対象による、 U , V の分類 (* 微小変形, ** 有限変形, *** 弹塑性)

解析対象	平板*	シェル** (近似解)	シェル** (精密解)	平板**	シェル*** (近似解)	シェル*** (精密解)	平板***	シェル*** (近似解)	シェル*** (精密解)
式(1)	0	U_1	$U_{1 \sim 2}$	U_3	U_1, U_3	$U_{1 \sim 4}$	U_3, U_5	U_1, U_3, U_5	$U_{1 \sim 6}$
式(2)	0	V_1	$V_{1 \sim 2}$	V_3	V_1, V_3	$V_{1 \sim 3}$	V_3, V_4	V_1, V_3, V_4	$V_{1 \sim 5}$

3. 解法

式(1), (2)を解く場合、物理量 U_k, V_k は、図-2 にみるよう分割された有限領域 (i, j など) においては、一定値(等分布)として扱い、各領域の中心点(選点)の値を用いる。そこでこの場合、式(1), (2)の U_k, ϕ, P, U, V を、2重級数

$$\sum_m \sum_n R_{mn} \sin \frac{m\pi}{a} x \cdot \sin \frac{n\pi}{b} s$$

の形で展開すると、板内各点(選点)の変位、断面力に関する、各領域における、 U_k, V_k の単位の量の影響係数は、同一の基本解(Navier の解)によって容易に与えられる。

1) シェルの解(近似解*)；表により、 U, V を考慮すると、基礎式は、

$$\Delta \Delta w = \frac{P}{K} - \frac{1}{RK} \frac{\partial^2 w}{\partial x^2}, \quad \Delta \Delta \phi = \frac{Eh}{R} \frac{\partial^2 w}{\partial x^2} \quad \dots \dots \quad (4)$$

上述の影響係数(下記 C_{ij}, C''_{ij} など、収束値)を用いて、選点における解を得る。

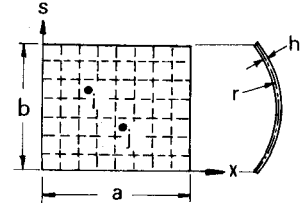


図-2

$$w_i = \frac{1}{K} C_{ii} P_i - \frac{1}{KR} \sum_j C_{ij} (P_x)_j, \quad \phi_i = \frac{Eh}{R} \sum_j C''_{ji} (Kx)_i \quad \dots \dots \quad (5)$$

(5)の各式を微分して ('': $\frac{\partial^2}{\partial x^2}$)、 $(Kx)_i, (P_x)_j$ の式を作り、 $(P_x)_j$ を消去して整理すると、

$$(Kx)_i + \frac{Eh}{KR} \sum_j C''_{ij} \sum_l C''_{jl} (Kx)_l = \frac{1}{K} C''_{ii} P_i \quad \dots \dots \quad (6)$$

(6)は、各有限領域における選点について、1自由度の未知量 $(Kx)_i$ を持つ連立方程式であり、 $(Kx)_i$ が求まれば、(5)により中、さらに w が求まる。このようにして、各有限領域の部分荷重による、すべての諸量が求まる。一方、式(1), (2)のその他の項、 U_{2-6}, V_{2-5} が、いずれも部分荷重に関連した性格を持つこと留意すれば、(5)は、その基本解になる。

2) シェルの解(精密解*)；必要があれば、さらに U_2, V_2 の項を考慮し、1)で求めた近似解によって、その仮定値を与える、繰返し計算によって、 W 中を修正して精密解が得られる。若干の例題による経験によれば、この計算はすみやかに収束する。

3) シェルの解(有限変形**)；有限変形の場合には、荷重を漸増させ、 U_3, V_3 (精密解の場合は U_3+U_4, V_3) を考慮して、同様に、繰返し計算により収束値を求める。

4) シェルの解(弾塑性***)；荷重を漸増させ、さらに、 U_5, V_4 (精密解の場合は、 U_5+U_6, V_4+V_5) を考慮し、塑性化した各点で、降伏条件($f=0$)を満足するように、 μ を定めながら、繰返し計算によって収束値を求める。この計算の方法は、すでに平板に関して発表した前論文の手法と同様である。

5) 平板の解；前表にみるよう、 U, V のうち、シェルの特性に関与する項の計算を除去すれば、平板の解が得られる。また、シェルの場合、実用上、近似解で十分な問題もあり、この場合は、1)の操作を除いては、平板の場合と全く同様である。

6) 境界条件に対する適用性の拡張；すでに平板の場合で示したように、境界選点法が併用できる。この場合、必要に応じ、補足解として、Lévy 解が用いられる。

4. あとがき

本文は、平板解法と同様な手法にもとづく、1種の hybrid 法によって、シェルと平板の解析を広範囲にわたって一元化し、高精度、かつ実用的に扱う方法を述べたものである。基本的実験題についての解析データの一部を、すでに、関西支部年次学術講演会(S. 49, 5)で報告したが、弾性シェルの解析における、本解法の精密解の精度は、Flügge の式を厳密に解く場合とほとんど同等である。其の後に得られたデータを加えたものを、講演時に説明する。